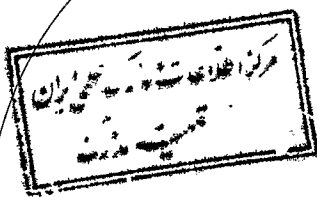


۱۴۷۸ / ۷ / ۹



جایابی بهینه پایدارکنده‌های مبتنی بر *FACTS*
در سیستم‌های قدرت چندماشینه

غلامحسن ابراهیمی

پایان‌نامه برای دریافت درجه کارشناسی ارشد
مهندسی برق - قدرت

استاد راهنما :

دکتر حیدرعلی شایانفر

۳۹۱۳/۰

بهمن ماه ۱۳۷۷

لهم حفظك
لهم حفظك

تقدیم به:

پدرم، هادرم

و تمام خانواده‌ام

که از صمیم قلب دوستشان دارم

اولین و عمومی‌ترین روش در بهبود نوسانات فرکانس پائین سیستم‌های قدرت استفاده از پایدارکننده‌های سیستم قدرت یا PSS هاست که در مورد نوسانات مربوط به مدهای بین‌ناحیه‌ای سیستم‌های بزرگ جواب خوبی نمی‌دهد ولذا نیاز به انواع دیگری از پایدارکننده‌ها در کنار PSS ها مشهود است. پیشرفت الکترونیک قدرت و امکان استفاده از امپدانس‌های متغیر در سیستم‌های قدرت ایده اصلی در توسعه پایدارکننده‌های مبتنی بر FACTS می‌باشد که به‌این منظور بکار گرفته می‌شوند. از تصمیمات اولیه در طراحی این پایدارکننده‌ها، انتخاب محل نصب و سیگنالهای کنترلی آنهاست که بسته به شرایط باری و وضعیت سیستم متفاوت خواهند بود. چون در این مرحله، پارامترها و ساختار پایدارکننده‌ها، دقیقاً مشخص نبوده و امکان تشکیل سیستم حلقه‌بسته وجود ندارد؛ طراحی‌ها روی سیستم حلقه‌باز انجام می‌گیرند و لذا تحلیل مдал می‌تواند برای این منظور بکار رود. روش معمول این تحلیل که برایه محاسبات روی مقادیر ویژه و بردارهای ویژه ماتریس حالت کامل سیستم می‌باشد، در سیستم‌های قدرت بزرگ با مشکل مواجه می‌باشد؛ چراکه محاسبات روی ماتریسهای بزرگ غالباً با دقت کافی همراه نبوده و حتی مرسومترین روشها همچون QR نیز جوابهای قابل اعتماد نخواهند داد.

برای غلبه بر این مشکل، شکل مرتبه کاسته‌ای از تحلیل مдал بدست آمده و توسعه یافته است که ضمن داشتن دقت کافی، میزان محاسبات لازم را نیز به شکل قابل توجهی کاهش می‌دهد. این روش روی یک سیستم نمونه بهمنظور انتخاب بهترین محل نصب و سیگنالهای کنترلی دو نوع کاربردی پایدارکننده‌های مبتنی بر FACTS تشریح شده است.

تقدیر و تشکر

پس از حمد و ثنای حضرت حق که توفیق دانش‌آندوزیم عطا فرمود، لازم می‌دانم از زحمات دکتر شایانفر که در انجام این پروژه در کنار راهنمایی‌های ارزنده‌شان با فراهم‌سازی امکانات مورد نیاز، بهبود هرچه بیشتر پروژه را باعث شدند و همچنین از اعضای هیأت داوری، دکتر پارسا مقدم و دکتر کلانتر به‌خاطر حضور در جلسه دفاعیه تشکر و قدردانی نمایم.

فهرست مطالب

<u>صفحه</u>	<u>عنوان</u>
۱	- مقدمه
۵	۱- پایدارکننده‌های مبتنی بر <i>FACTS</i>
۶	۱-۱- مقدمه
۷	۱-۲- <i>FACTS</i> و تعاریف آن
۷	۱-۲-۱- تعاریف مقدماتی
۸	۱-۲-۲- تعاریف پایدارکننده‌های مبتنی بر <i>FACTS</i>
۸	۱-۲-۲-۱- پایدارکننده‌های موازی
۱۰	۱-۲-۲-۲- پایدارکننده‌های سری
۱۱	۱-۲-۲-۳- پایدارکننده‌های مرکب
۱۲	۳-۱- کاربردهای فعلی پایدارکننده‌های مبتنی بر <i>FACTS</i>
۱۳	۳-۱-۱- جبرانکننده‌های استاتیک توان راکتیو
۱۳	۳-۱-۲- خازنهای سری کنترل شده با تریستور
۱۴	۳-۱-۴- سیگنالهای ورودی و خروجی این پایدارکننده‌ها

۱۵	۱-۵-۱- مقایسه میزان اثربخشی پایدارکننده در شرایط مختلف
۱۰	۱-۵-۱- سیستم مورد آزمایش
۱۶	۱-۵-۲- معیار مقایسه
۱۷	۱-۵-۳- نتیجه مقایسه
۱۹	۲- جایابی بهینه پایدارکننده‌های مبتنی بر <i>FACTS</i>
۲۰	۲-۱- مقدمه
۲۱	۲-۲- معیارهای مختلف جایابی بهینه
۲۲	۲-۳- مقایسه معیارهای مختلف
۲۴	۲-۴- نتیجه مقایسه
۲۵	۳- تئوری کنترل مدار
۲۶	۳-۱- مقدمه
۲۷	۳-۲- تحلیل مدار
۲۹	۳-۲-۱- ضرائب کنترل پذیری و رؤیت‌شوندگی
۲۹	۳-۲-۱-۱- کاربردهای ضرائب کنترل پذیری و رؤیت‌شوندگی
۳۰	۳-۳- مدل دینامیکی هفرون فیلیپس
۳۳	۳-۳-۱- تأثیر پایدارکننده‌های مبتنی بر <i>FACTS</i> روی مدل هفرون فیلیپس
۳۴	۳-۳-۴- تحلیل مدار مرتبه کاسته
۴۰	۳-۴-۱- حل معادلات چندمتغیره به روش هوک جیوز
۴۲	۳-۴-۲- محاسبه مقادیر ویژه موردنظر سیستم

۴۳	۳-۵- نتیجه
۴۴	۴- پیاده‌سازی الگوریتم مرتبه کاسته تحلیل مдал روی شبکه نمونه
۷۶	۵- نتیجه‌گیری نهائی و پیشنهادات پروژه
۷۷	۱-۵- نتیجه‌گیری
۷۸	۲- پیشنهادات
۷۹	- پیوست‌ها
۸۰	- ضمیمه الف
۸۳	- ضمیمه ب
۸۶	- منابع و مراجع

فهرست تصاویر

صفحه	عنوان	شماره
۱۵	سیستم قدرت نمونه شماره یک	۱-۱
۱۷	تغییرات تأثیرمیرایی SVC و CSC نسبت به تغییر بار عبوری خط	۱-۲
۲۲	سیستم قدرت نمونه شماره دو	۲-۱
۳۲	مدل دینامیکی هفرون فیلیپس سیستم قدرت n ماشینه	۳-۱
۳۲	مدل هفرون فیلیپس با پایدارکننده مبتنی بر FACTS	۳-۲
۴۰	نحوه جستجو در روش هوک جیوز	۳-۳
۴۵	سیستم قدرت نمونه شماره سه	۴-۱
۵۹	تغییرات زاویه‌های روتورهای G2 و G3 نسبت به GI	۴-۲
۶۰	تغییرات زاویه روتور G2 نسبت به GI با TCSC روی خط ۵-۷	۴-۳
۶۰	تغییرات زاویه روتور G3 نسبت به GI با TCSC روی خط ۵-۷	۴-۴
۶۱	تغییرات زاویه روتور G2 نسبت به GI با TCSC روی خط ۶-۹	۴-۵

۶۱	تغییرات زاویه روتور $G3$ نسبت به $G1$ با $TCSC$ روی خط ۸-۹	۴-۶
۶۲	تغییرات زاویه روتور $G2$ نسبت به $G1$ با $TCSC$ روی خط ۸-۹	۴-۷
۶۲	تغییرات زاویه روتور $G3$ نسبت به $G1$ با $TCSC$ روی خط ۸-۹	۴-۸
۶۳	تغییرات زاویه روتور $G2$ نسبت به $G1$ با $TCSC$ روی خط ۸-۹	۴-۹
۶۳	تغییرات زاویه روتور $G3$ نسبت به $G1$ با $TCSC$ روی خط ۸-۹	۴-۱۰
۶۴	تغییرات زاویه روتور $G2$ نسبت به $G1$ با $TCSC$ روی خط ۸-۹	۴-۱۱
۶۴	تغییرات زاویه روتور $G3$ نسبت به $G1$ با $TCSC$ روی خط ۸-۹	۴-۱۲
۶۵	تغییرات زاویه روتور $G2$ نسبت به $G1$ با $TCSC$ روی خط ۸-۹	۴-۱۳
۶۵	تغییرات زاویه روتور $G3$ نسبت به $G1$ با $TCSC$ روی خط ۸-۹	۴-۱۴
۶۶	تغییرات زاویه روتور $G2$ نسبت به $G1$ با دو $TCSC$	۴-۱۵
۶۶	تغییرات زاویه روتور $G3$ نسبت به $G1$ با دو $TCSC$	۴-۱۶
۶۷	تغییرات زاویه روتور $G2$ نسبت به $G1$ با SVC روی شین ۵	۴-۱۷
۶۷	تغییرات زاویه روتور $G3$ نسبت به $G1$ با SVC روی شین ۵	۴-۱۸
۶۸	تغییرات زاویه روتور $G2$ نسبت به $G1$ با SVC روی شین ۶	۴-۱۹
۶۸	تغییرات زاویه روتور $G3$ نسبت به $G1$ با SVC روی شین ۶	۴-۲۰
۶۹	تغییرات زاویه روتور $G2$ نسبت به $G1$ با SVC روی شین ۸	۴-۲۱
۶۹	تغییرات زاویه روتور $G3$ نسبت به $G1$ با SVC روی شین ۸	۴-۲۲
۷۰	تغییرات زاویه روتور $G2$ نسبت به $G1$ با SVC روی شین ۶	۴-۲۳

۷۰	تغییرات زاویه روتور $G3$ نسبت به $G1$ با SVC روی شین ۶	۴-۲۴
۷۱	تغییرات زاویه روتور $G2$ نسبت به $G1$ با SVC روی شین ۶	۴-۲۵
۷۱	تغییرات زاویه روتور $G3$ نسبت به $G1$ با SVC روی شین ۶	۴-۲۶
۷۲	تغییرات زاویه روتور $G2$ نسبت به $G1$ با SVC روی شین ۶	۴-۲۷
۷۲	تغییرات زاویه روتور $G3$ نسبت به $G1$ با SVC روی شین ۶	۴-۲۸
۷۳	تغییرات زاویه روتور $G2$ نسبت به $G1$ با PSS روی $G1$	۴-۲۹
۷۳	تغییرات زاویه روتور $G3$ نسبت به $G1$ با PSS روی $G1$	۴-۳۰
۷۴	تغییرات زاویه روتور $G2$ نسبت به $G1$ با PSS روی $G2$	۴-۳۱
۷۴	تغییرات زاویه روتور $G3$ نسبت به $G1$ با PSS روی $G2$	۴-۳۲
۷۵	تغییرات زاویه روتور $G2$ نسبت به $G1$ با PSS روی $G3$	۴-۳۳
۷۵	تغییرات زاویه روتور $G3$ نسبت به $G1$ با PSS روی $G3$	۴-۳۴

فهرست جداول

شماره	عنوان	صفحه
۲-۱	اندازه شاخص‌های مختلف در تعیین محل نصب بهینه SVC	۲۳
۴-۱	نتیجه پخش‌بار سیستم قدرت (۴-۱)	۴۶
۴-۲	مقادیر ویژه سیستم حلقه‌باز	۴۸
۴-۳	ضرائب کنترل‌پذیری و رؤیت‌شوندگی مدهای نوسانی مفروض	۴۹
۴-۴	ضرائب کنترل‌پذیری مدهای نوسانی از موقعیت‌های مختلف نصب TCSC	۵۰
۴-۵	ضرائب رؤیت‌شوندگی مدهای نوسانی سیستم از موقعیت ۶-۹	۵۱
۴-۶	ضرائب رؤیت‌شوندگی مدهای نوسانی سیستم از موقعیت‌های مختلف ۵۲	۵۲
۴-۷	ضرائب مانده مدهای نوسانی سیستم از موقعیت‌های مختلف ۵۲	۵۲
۴-۸	مقادیر ویژه سیستم با TCSC نصب شده در موقعیت‌های مختلف ۵۳	۵۳
۴-۹	مقادیر ویژه سیستم با TCSC نصب شده روی خط ۶-۹	۵۴
۴-۱۰	مقادیر ویژه سیستم با دو TCSC روی خطوط ۵-۷ و ۸-۹	۵۴
۴-۱۱	ضرائب کنترل‌پذیری مدهای نوسانی از موقعیت‌های مختلف نصب SVC ..	۵۵

ضرایب رؤیت‌شوندگی مدهای نوسانی سیستم با SVC روی شین ۶ ۵۵	۴-۱۲
ضرایب رؤیت‌شوندگی مدهای نوسانی سیستم از موقعیت‌های مختلف ۵۶	۴-۱۳
ضرایب مانده مدهای نوسانی سیستم با SVC روی شین ۶ ۵۶	۴-۱۴
ضرایب مانده مدهای نوسانی سیستم از موقعیت‌های مختلف ۵۶	۴-۱۵
مقادیر ویژه سیستم با SVC نصب شده در موقعیت‌های مختلف ۵۷	۴-۱۶
مقادیر ویژه سیستم با SVC نصب شده روی شین ۶ ۵۷	۴-۱۷
مقادیر ویژه سیستم پس از نصب PSS در موقعیت‌های مختلف ۵۸	۴-۱۸

لیست علامت

بردار متغیرهای حالت	X
بردار ورودی ها	U
بردار خروجی ها	Y
ماتریس حالت	A
ماتریس ورودی	B
ماتریس خروجی	C
ماتریس مدار	M
مقدار ویژه i	λ_i
بردار ویژه راست مربوط به λ_i	V_i
بردار ویژه چپ مربوط به λ_i	W_i
تغییر خطی جزئی پارامترها	Δ
زاویه بار ژنراتور	δ
سرعت زاویه ژنراتور	ω
ولتاژ داخلی محور d	E'_q
ولتاژ تحریک	E_{FD}
گشتاور الکتریکی ژنراتور	T_E
ولتاژ ترمینال ژنراتور	V_T
راکتانس محور q	X_Q
راکتانس محور d	X_D
راکتانس گذرای محور d	X'_D
ضریب میرایی ژنراتور	D
ثابت اینرسی ژنراتور	$M=2H$
فرکانس کاری سیستم	ω_0
سیگنال خروجی pss	u_P
سیگنال خروجی پایدارکننده مبتنی بر $FACTS$	u_F
ثابت زمانی مدار باز محور d یا T_D یا T'_{DO}	
ثابت زمانی و گین مدار سیستم تحریک K_A و T_A	
ضرائب هفرون فیلیپس K_6 تا K_1 و K_v ، K_q ، K_p	

anjela